

# INTERPOLACJA

*Metody Obliczeniowe w Nauce i Technice*  
*laboratorium 2*  
**Aleksandra Smela**

## 1. OPIS ZADANIA

Dla zagadnienia Lagrange'a przygotować program wyznaczający wielomian interpolujący zgodnie ze wzorem Lagrange'a oraz Newtona.

W obu przypadkach węzły mogą być rozmieszczone:

- a) równomiernie w całym przedziale (uwzględniając końce przedziału),
- b) zgodnie z zerami wielomianu Czebyszewa.

Przygotować program do wizualizacji wykresu funkcji zadanej określoną liczbą punktów lub określonym wzorem.

## 2. UŻYTE NARZĘDZIA I ŚRODOWISKO

- Komputer z systemem Windows 10
- Procesor: AMD Ryzen 7 3700X 3,6GHz
- Pamięć RAM: 32 GB
- Język programowania: Python 3
- Użyte biblioteki: numpy, matplotlib

## 3. REALIZACJA ZADANIA

### 3.1. Przygotowanie modułu z niezbędnymi funkcjami

Przygotowano moduł *interpolation.py* z niezbędnymi funkcjami do realizacji zadania:

- *lagrange\_interpolation(points)*

Funkcja przyjmuje zbiór dwuwymiarowych punktów  $(x_i, f(x_i))$ , gdzie  $x_i$  to węzły interpolacji. Funkcja zwraca wielomian interpolacyjny: *polynomial(x)*.

Wzór interpolacyjny jest wyznaczony zgodnie z wzorem Lagrange'a:  $P_n(x) = \sum_{k=0}^n f(x_k) L_k(x)$

Gdzie:  $L_k(x) = \prod_{i=0, i \neq k}^n \frac{x-x_i}{x_k-x_i}$  to bazy Lagrange'a.

- *newton\_interpolation(points)*

Podobnie jak poprzednio funkcja przyjmuje zbiór dwuwymiarowych punktów  $(x_i, f(x_i))$ , gdzie  $x_i$  to węzły interpolacji. Funkcja zwraca wielomian interpolacyjny: *polynomial(x)*.

Wzór interpolacyjny jest wyznaczony zgodnie z wzorem Newtona:

$$P_n(x) = a_0 + a_1(x - x_0) + a_2(x - x_0)(x - x_1) + \dots + a_n(x - x_0)(x - x_1) \dots (x - x_{n-1})$$

Gdzie:  $a_0, a_1, \dots, a_n$  to kolejne ilorazy różnicowe.

- *generate\_regularly(n, interval)*

Funkcja przyjmuje liczbę liczb do wygenerowania i przedział, z którego mają być wygenerowane. Zwraca n liczb wybranych równomiernie z przedziału.

- *generate\_czybyszow(n, interval)*

Funkcja przyjmuje liczbę liczb do wygenerowania i przedział, z którego mają być wygenerowane. Zwraca n liczb wybranych z przedziału zgodnie z zerami wielomianu Czybyszewa. Zgodnie z wzorem:  $\frac{a+b}{2} + \frac{b-a}{2} \cos\left(\frac{2i-1}{2n} \pi\right)$

Gdzie:  $(a, b)$  – przedział przekazany do funkcji,  $n$  – liczba liczb do wygenerowania,  $i$  – numer liczby do wygenerowania.

- `generate_points(n, interval, x_generator, f_x)`

Funkcja przyjmuje liczbę punktów do wygenerowania, przedział tożsamy z dziedziną, funkcja zgodnie z którą powinny być wygenerowane współrzędne x (np. `generate_czybyszow` lub `generate_regularly`) oraz funkcję  $f(x)$ , gdzie  $y=f(x)$ .

- `draw_points(points, plot_name, file_name)`

Funkcja rysująca wykres punktów o zadanej nazwie i zapisująca ten wykres do pliku o określonej nazwie.

- `draw_fun(fun, interval, n, plot_name, file_name)`

Funkcja rysująca wykres (o zadanej nazwie) funkcji na zadanym przedziale i zapisująca go do określonego pliku. Funkcja przyjmuje również liczbę n, ponieważ rysowane jest tak naprawdę n równomiernie rozmieszczonych punktów przekazanej funkcji.

### 3.2. Przygotowane testy

Przygotowano następujące funkcje do przetestowania algorytmów wyznaczających wielomiany interpolacyjne:

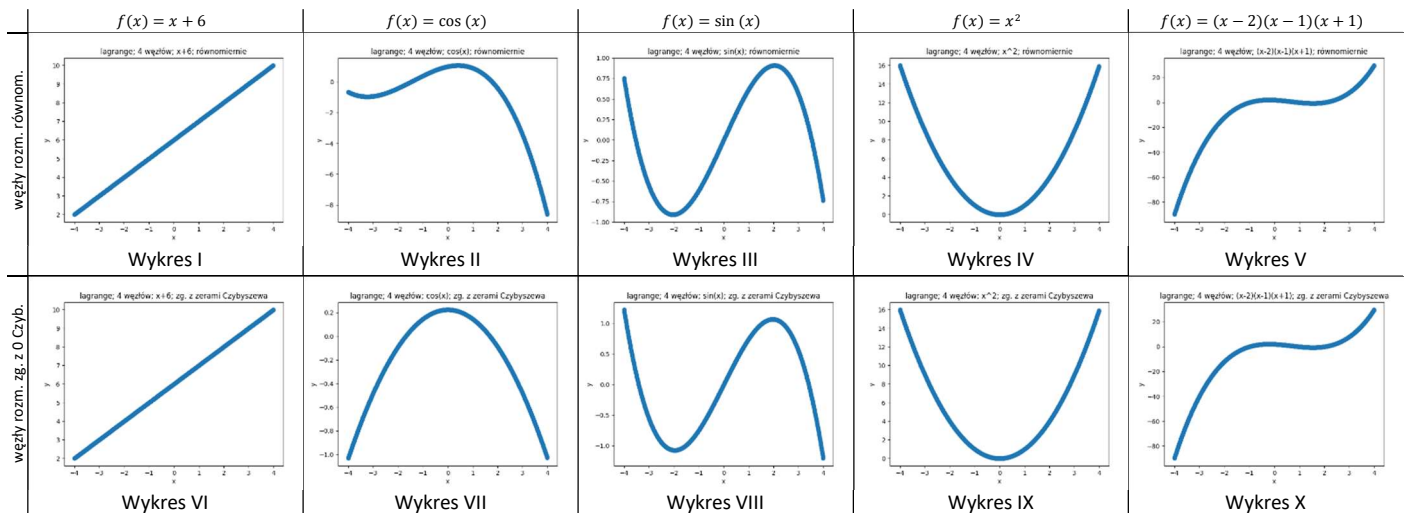
- $x + 6$
- $\cos(x)$
- $\sin(x)$
- $x^2$
- $(x - 2)(x - 1)(x + 1)$

Przetestowano oba algorytmy, zarówno dla wzoru w wersji Lagrange'a jak i Newtona. Algorytm przetestowano dla 4, 20 i 100 węzłów interpolacyjnych. Następnie narysowano wykresy przybliżając je 1000 punktami.

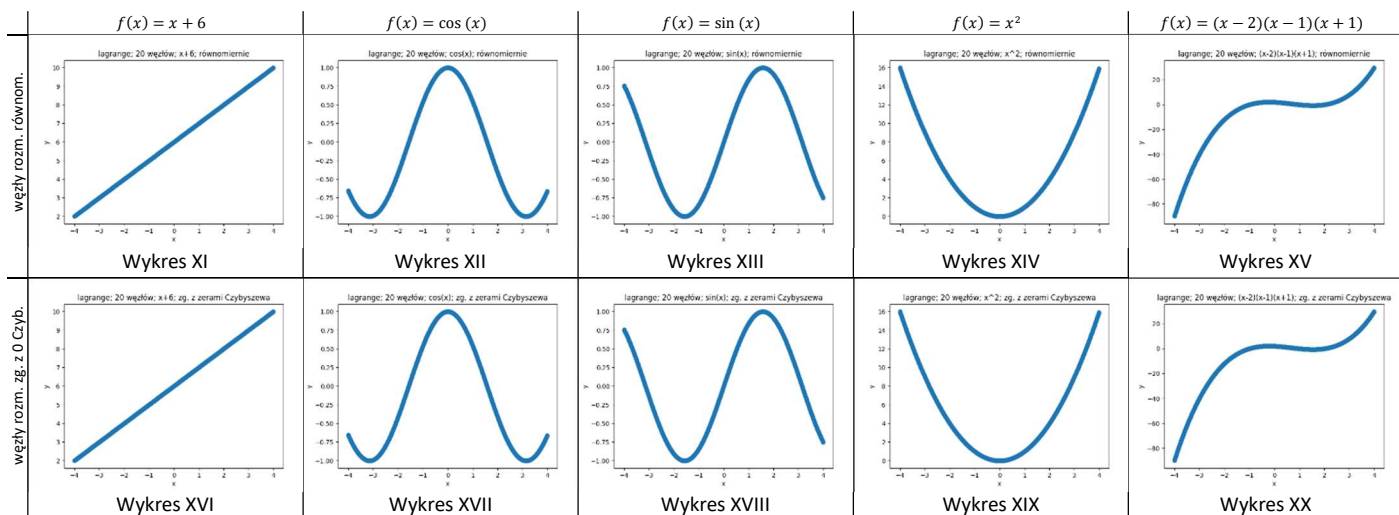
## 4. OTRZYMANE WYNIKI

### 4.1. Wzór w wersji Lagrange'a

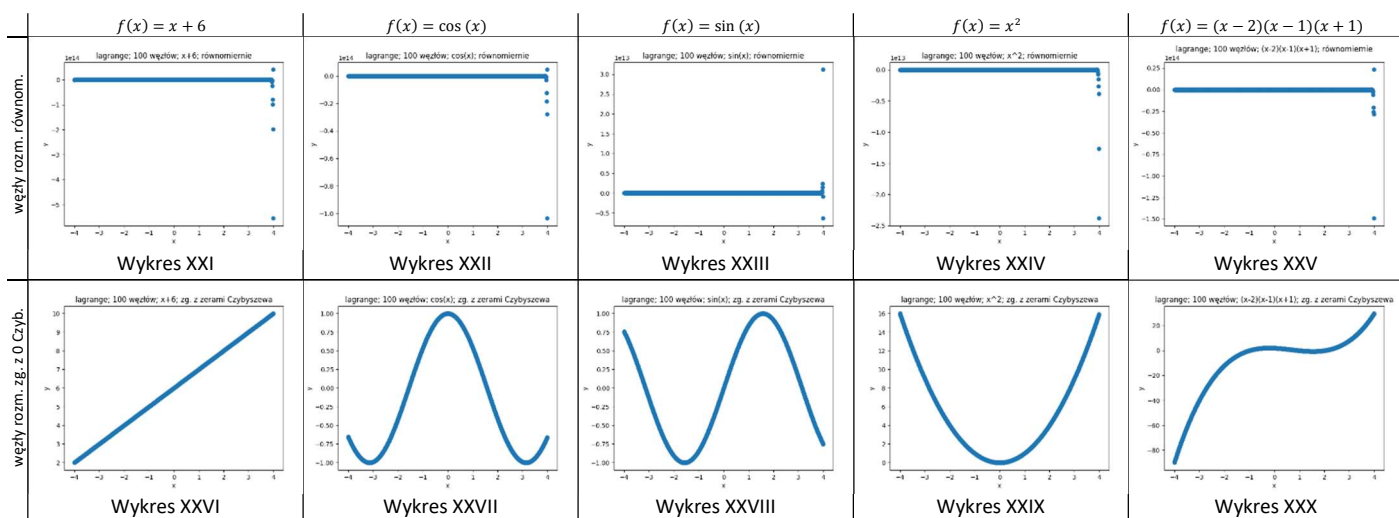
#### 4.1.1. 4 węzły



### 4.1.2. 20 węzłów

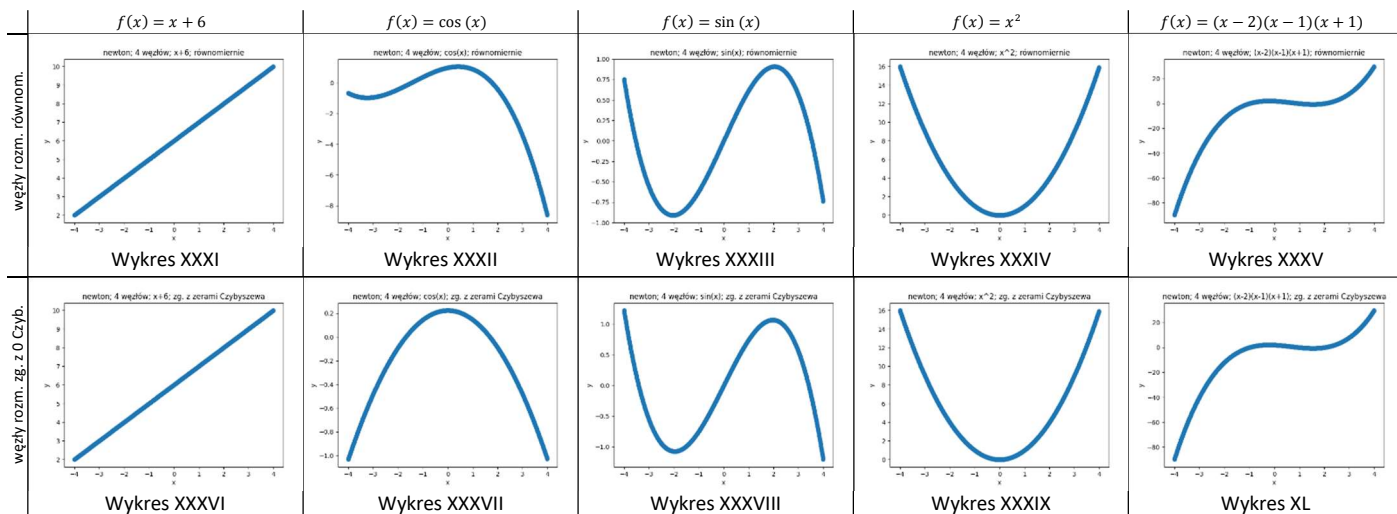


### 4.1.3. 100 węzłów

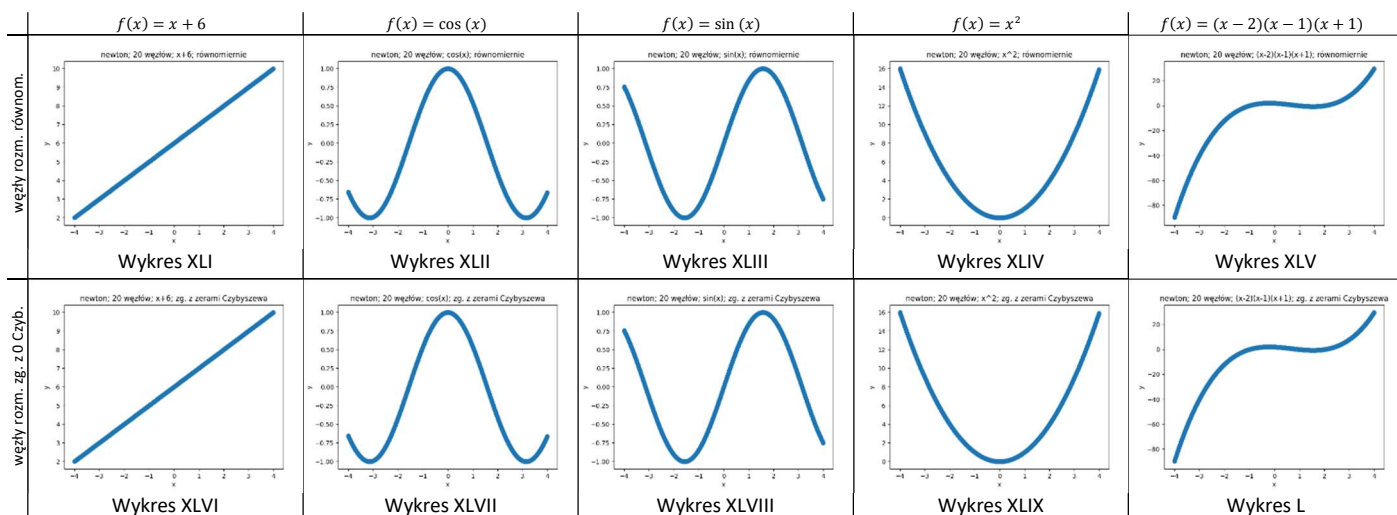


## 4.2. Wzór w wersji Newtona

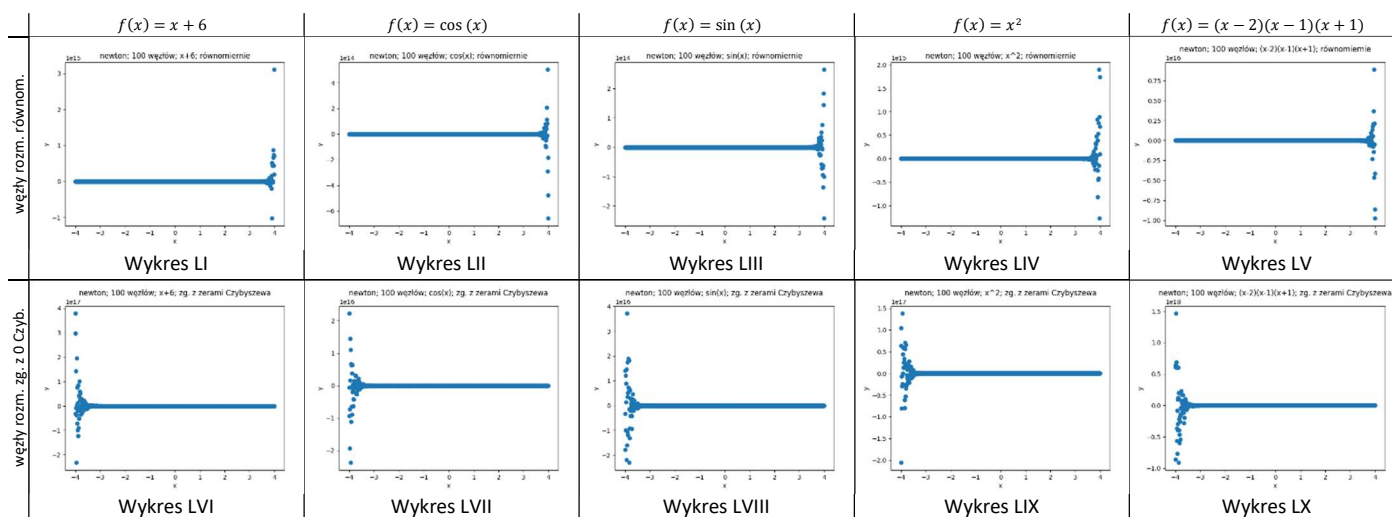
### 4.2.1. 4 węzły



### 4.2.2. 20 węzłów



### 4.2.3. 100 węzłów



## 5. PODSUMOWANIE WYNIKÓW

- 5.1. (wykresy II i XXXII) Dla 4 węzłów rozmieszczonych równomiernie algorytm interpolacji nieprawidłowo przybliża funkcję zarówno wykorzystując wielomian Lagrange'a i Newtona. Jednak ta sama funkcja dla tej samej liczby węzłów rozmieszczonych zgodnie z zerami wielomianu Czybyszewa przybliża funkcję znacznie dokładniej.
- 5.2. (wykresy VII i XVII oraz XXXVII i XLVII) Funkcja cosinus dla 4 węzłów rozmieszczonych zgodnie z zerami Czybyszewa została przybliżona z bardzo ograniczoną dokładnością. Wykresy znacznie różni się od analogicznych dla 20 węzłów.
- 5.3. Poza przypadkiem opisanym w 5.1 nawet dla 4 węzłów kształt funkcji został przybliżony z pewną dokładnością. Warto jednak zauważyć, że dla większej liczby węzłów (np. 20) funkcje mają inny kształt – szczególnie funkcja sinus i cosinus.
- 5.4. Dla większej liczby węzłów – tj. w tym przypadku 20 – taki problem jak w podpunkcie 5.1 nie został zauważony i funkcje są przybliżane z znacznie większą dokładnością, niezależnie od rozmieszczenia węzłów i wersji wzoru.
- 5.5. Dla wzoru w wersji Lagrange'a i 100 węzłów rozmieszczonych równomiernie algorytm nie zwraca odpowiedniego wielomianu interpolacyjnego (wykresy XXI-XXV). Problem ten nie występuje dla węzłów rozmieszczonych zgodnie z zerami Czybyszewa (wykresy XXVI-XXX).
- 5.6. Dla wzoru w wersji Newtona i 100 węzłów algorytm nie zwraca odpowiedniego wielomianu interpolacyjnego dla testowanych funkcji niezależnie od rozmieszczenia węzłów (wykresy).

## 6. WNIOSKI

- 6.1. Zera Czybyszewa stanowią optymalne położenie węzłów interpolacyjnych. Wielomian wyznaczony przy takim ułożeniu daje najmniejsze oszacowanie błędu. Wyniki potwierdzają, że takie położenie jest lepsze niż rozmieszczenie równomierne.
- 6.2. Otrzymane wyniki dla 100 węzłów interpolacyjnych można wytłumaczyć efektem Rungego. Efekt ten polega na pogorszeniu jakości interpolacji wielomianowej, mimo zwiększenia jej węzłów. Początkowo ze wzrostem liczby węzłów  $n$  przybliżenie poprawia się, jednak po dalszym wzroście  $n$ , zaczyna się pogarszać, co jest szczególnie widoczne na końcach przedziałów. Aby uniknąć tego efektu, stosuje się interpolację z węzłami coraz gęściej umiejscowionymi na krańcach przedziału interpolacji. Np. zgodnie z zerami wielomianu Czybyszewa. W uzyskanych wynikach dla wielomianu Lagrange'a faktycznie zastosowanie takiego rozmieszczenia pomogło uniknąć efektu Rungego, jednak w przypadku wielomianu Newtona to nie pomogło.